

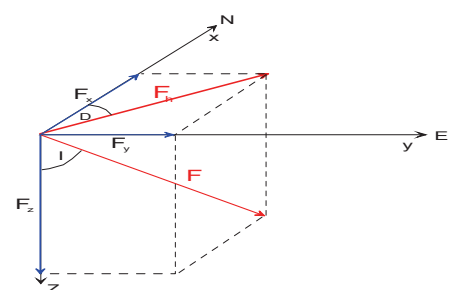
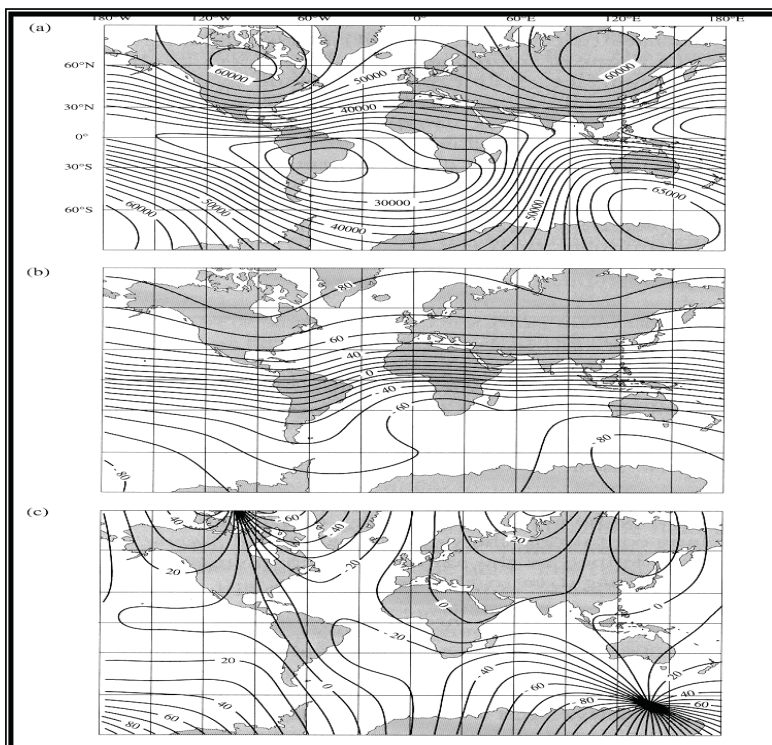
# METODOS DE EXPLORACIÓN GEOFISICA MODULO MAGNETISMO

## Semestre PRIMAVERA/2008

Gonzalo Yañez

### MÓDULO I.- Introducción

## MAGNETISMO: Conceptos Básicos El Campo Magnético Terrestre



$\mathbf{F}$  = Intensidad de campo total

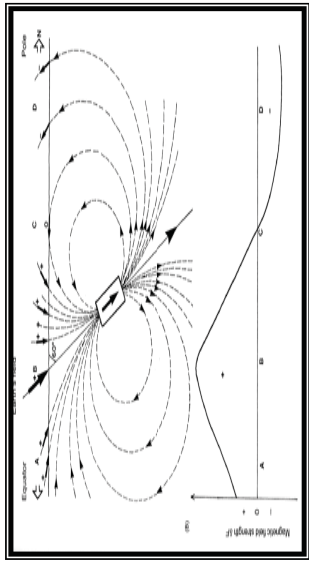
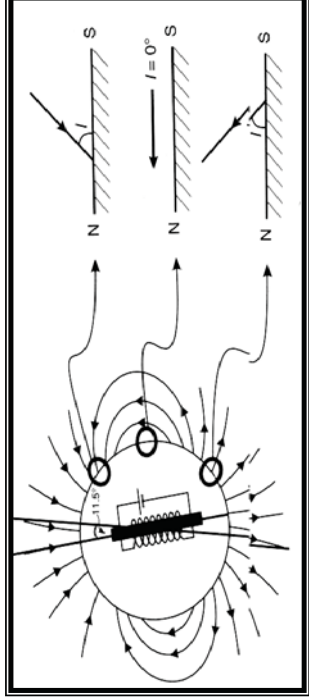
$I$  = Inclinación

$D$  = Declinación

## MÓDULO I.- Introducción

# MAGNETISMO: Conceptos Básicos

## El Campo Magnético Terrestre



**Inducción Magnética** ⇒ Rocas magnetizadas en dirección del campo actual

**Remanencia Magnética** ⇒ Rocas magnetizadas en dirección de un campo magnético del pasado.

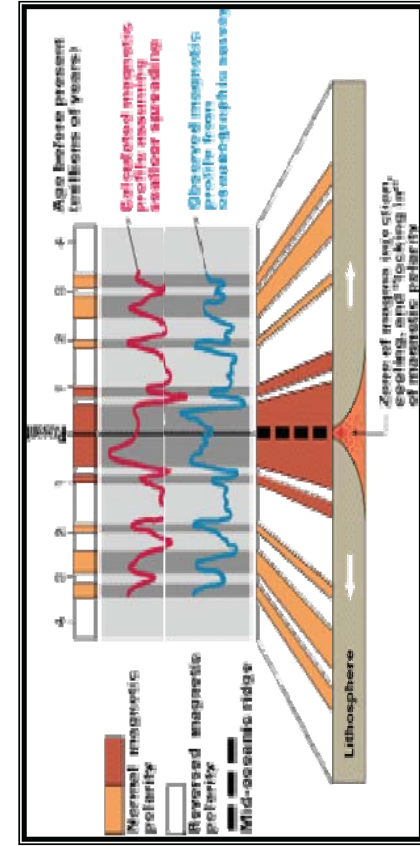
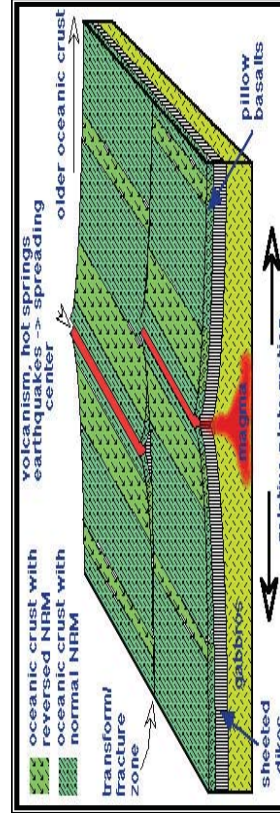
Ej.- Termoremanencia en basaltos oceánicos.

Temperatura de Curie ( $T_c$ )

## MÓDULO I.- Introducción

# MAGNETISMO: Conceptos Básicos

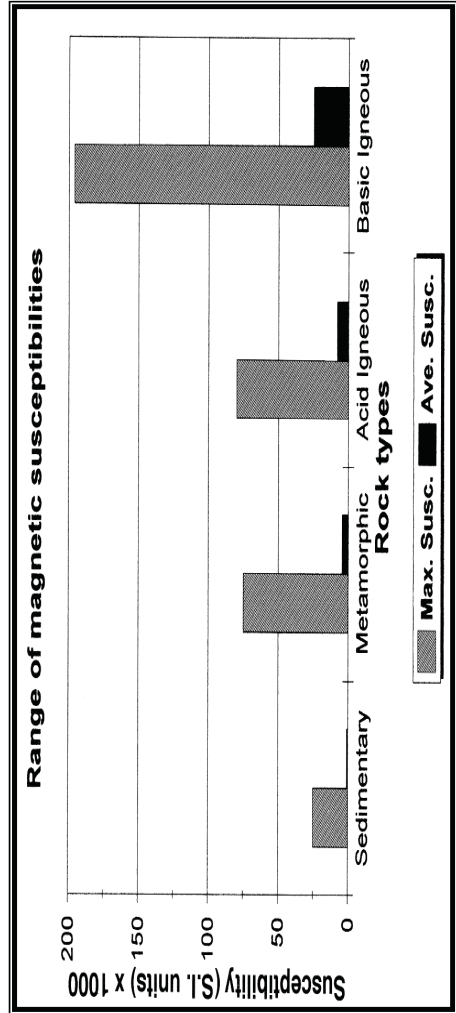
## El Campo Magnético Terrestre



## MÓDULO I.- Introducción

# MAGNETISMO: Conceptos Básicos

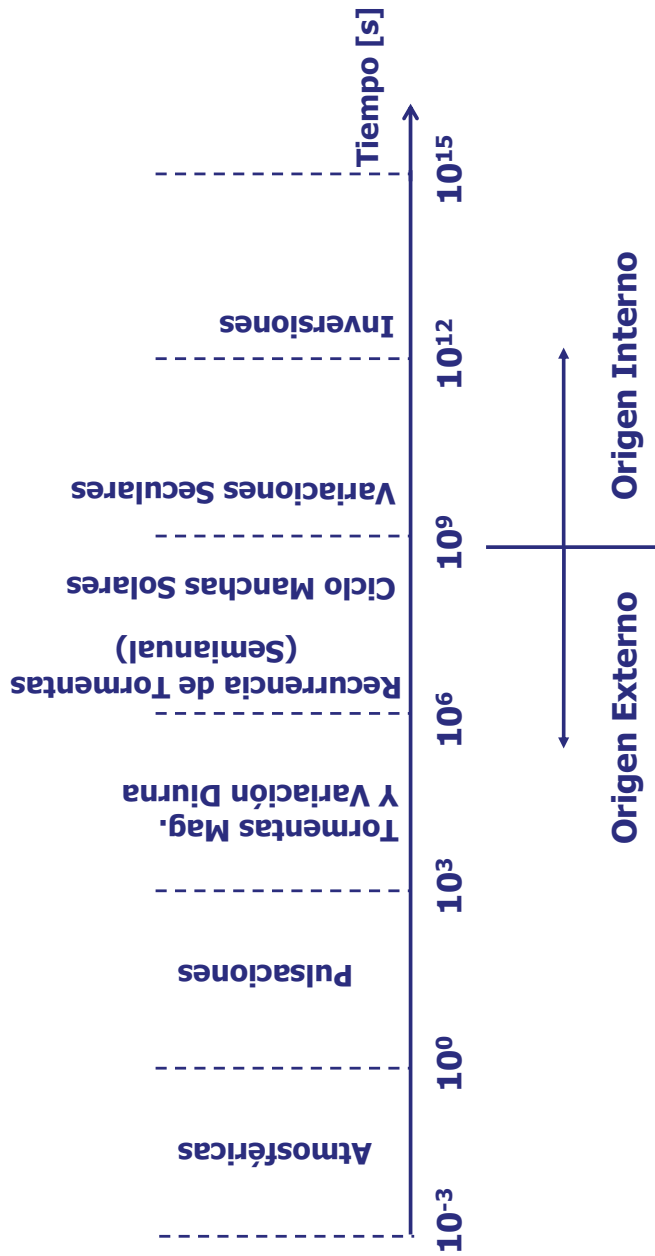
## Magnetización de las Rocas



## MÓDULO I.- Introducción

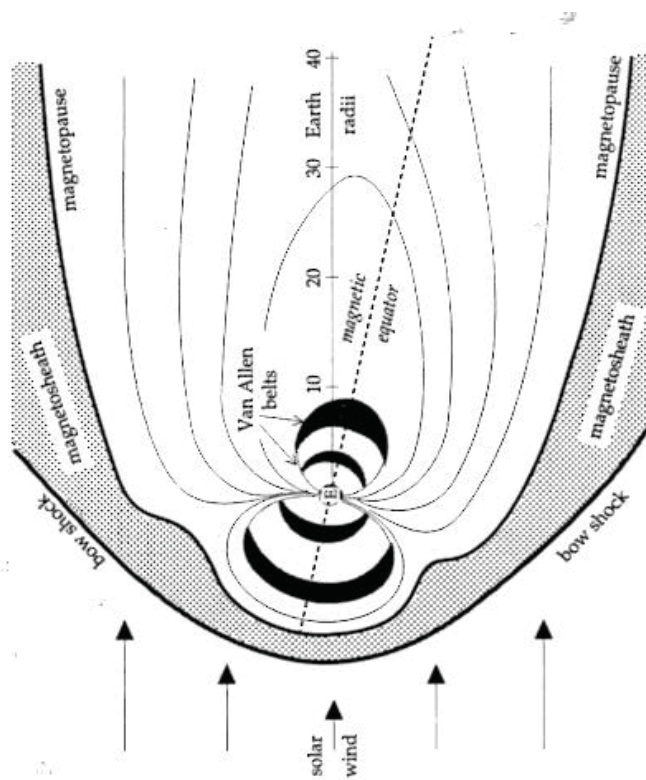
# MAGNETISMO: Conceptos Básicos

## CMT. Sus Variaciones Temporales



## MÓDULO I.- Introducción

### VARIACIONES CAMPO MAGNETICO TERRESTRE



#### Externas:

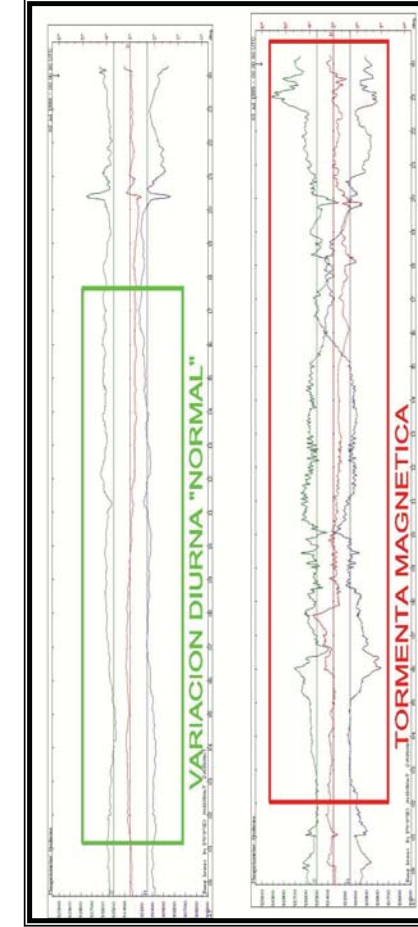
- periodicidad de 11 años
- variación diurna ~ 30 nT
- variación lunar ~ 2 nT
- tormentas solares

## MÓDULO I.- Introducción

### MAGNETISMO: Reducción de Datos

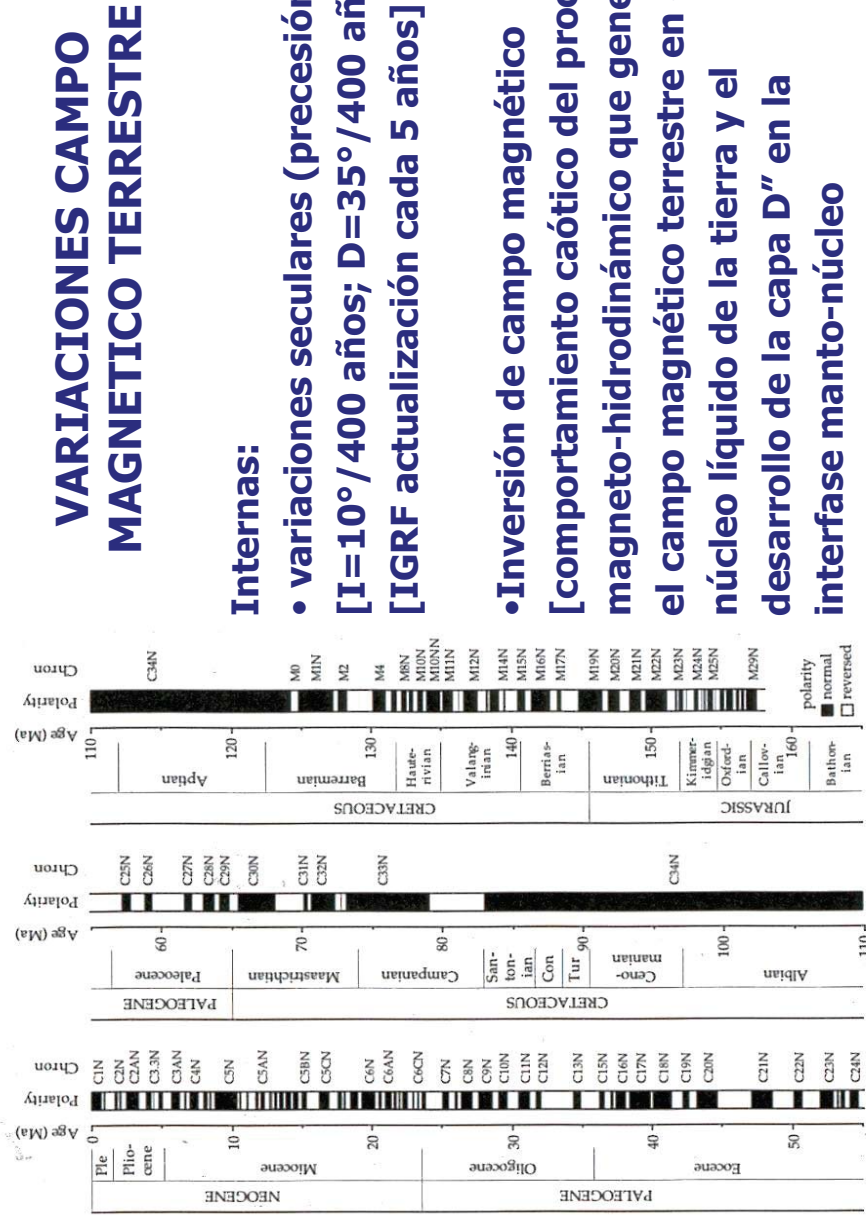
#### CORRECCIONES:

- ESTACION BASE (REGISTRO DE VARIACIONES TEMPORALES)



- ANOMALIA REGIONAL (IGRF)

## MÓDULO I.- Introducción



### Internas:

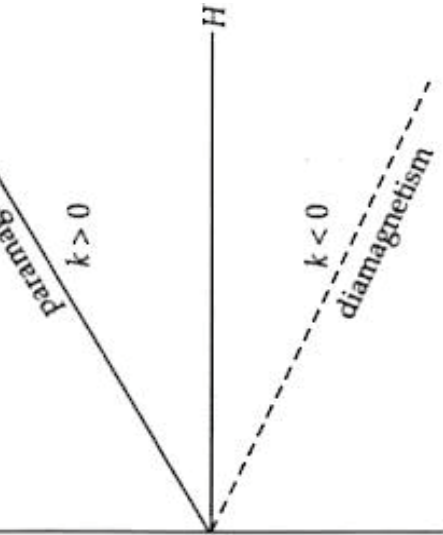
- variaciones seculares (precesión)  
[ $I=10^\circ/400$  años;  $D=35^\circ/400$  años]
- IGRF actualización cada 5 años]

• Inversión de campo magnético  
[comportamiento caótico del proceso magneto-hidrodinámico que genera el campo magnético terrestre en el núcleo líquido de la tierra y el desarrollo de la capa D'' en la interfase manto-núcleo

## MÓDULO I.- Introducción

# MAGNETIZACION DE LAS ROCAS

En presencia de un campo externo ( $H$ ) las rocas presentan dos comportamientos:



- DIAMAGNETISMO: Se opone al campo externo (susceptibilidad magnética negativa), característico de materiales que completan todos los orbitales. En ausencia de un campo externo tienen momento magnético nulo (ej., grafito, mármol, cuarzo)

En general el efecto paramagnético y diamagnético es muy débil, con la excepción de los elementos FERROMAGNESEANOS (fierro, cobalto, níquel), con una interacción magnética varios órdenes de magnitud superior.

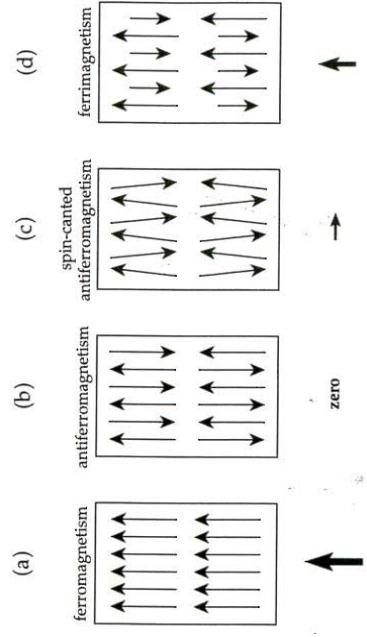
## MÓDULO I.- Introducción

# MAGNETIZACION DE LAS ROCAS

**FERROMAGNESES:** El tipo de interacción magnética define los DOMINIOS MAGNETICOS:

- a) Ferromagnetismo: dominios en fase momento magnético máximo (fierro)
- b) Anti-Ferromagnetismo: dominios en oposición de fase, momento magnético nulo (hematita), si los dominios están levemente rotados se genera un anti-ferromagnetismo con momento magnético débil en sentido perpendicular al campo c)

- d) Ferrimagnetismo: momento neto mayor que cero (la mayoría de las rocas magnetizadas en la naturaleza (magnetita, titanomagnetita, ox. fierro)



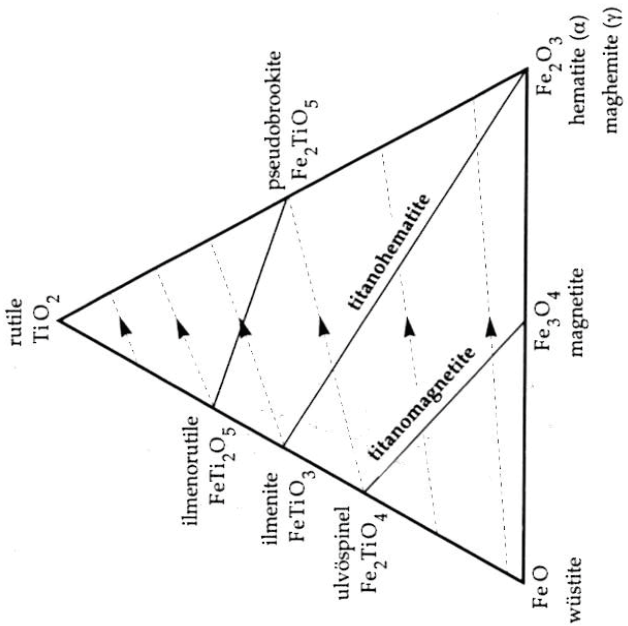
## MÓDULO I.- Introducción

### MAGNETIZACION DE LAS ROCAS

**FERROMAGNESES:** El grado de magnetización en las rocas se puede expresar en un diagrama triangular Fe-Ti-O,

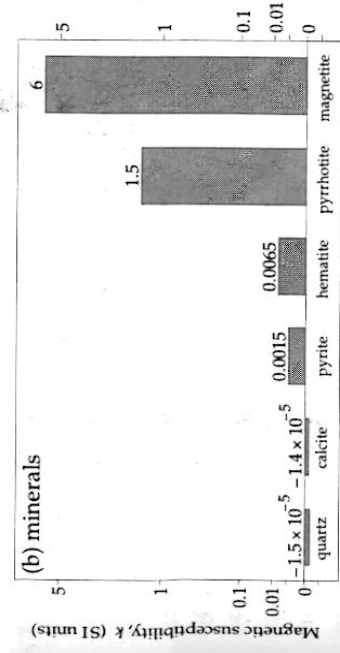
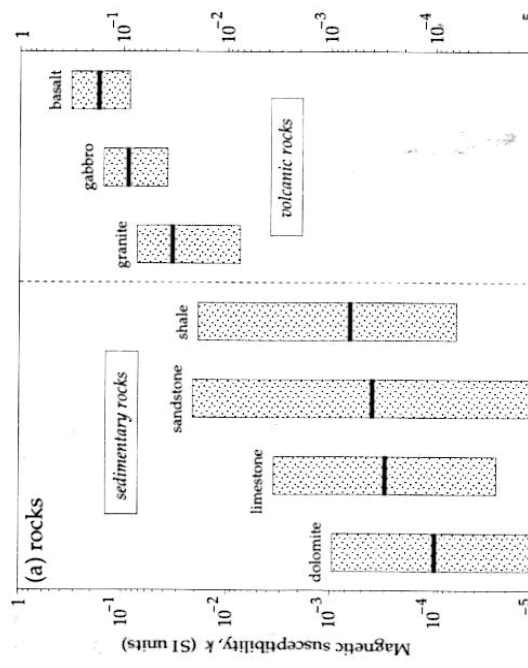
La solución sólida titanomagnetita es la familia de óxidos de fierro más importante en términos de la magnetización de las rocas, a mayor contenido de titanio se incrementa el tamaño de grano y disminuye la T. Curie => ulvöspinel no magnético a temperatura ambiente, la magnetización superior la alcanza la magnetita.

La solución sólida titanohematita tiene el mismo comportamiento: al aumentar el contenido de titanio, su valor extremo, hematita, presenta una magnetización débil pero alta T. Curie por lo cual es muy utilizada en estudios paleomagnéticos.



$Fe_2O_3$   
hematite (α)  
 $Fe_3O_4$   
magnetite  
 $FeO$   
wüstite

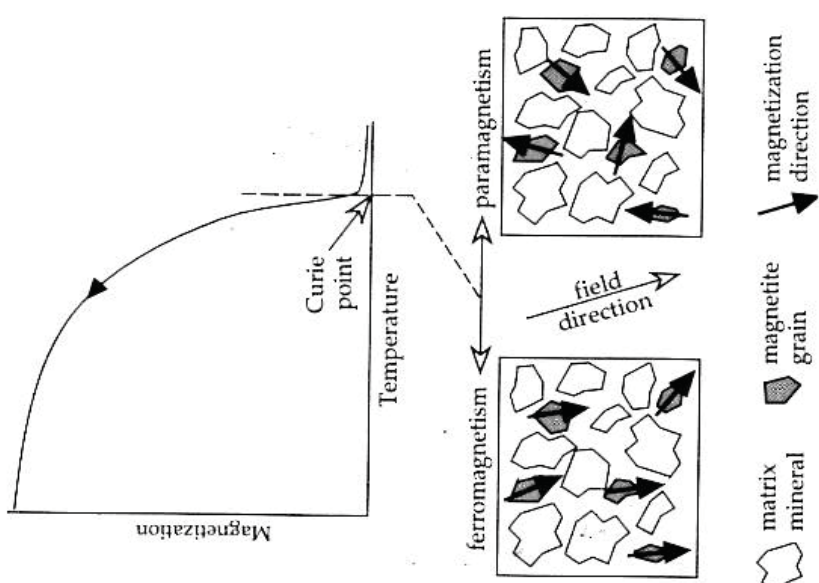
# SUSCEPTIBILIDAD MAGNETICA ROCAS Y MINERALES



## MÓDULO I.- Introducción

### MAGNETIZACION DE LAS ROCAS: PUNTO CURIE

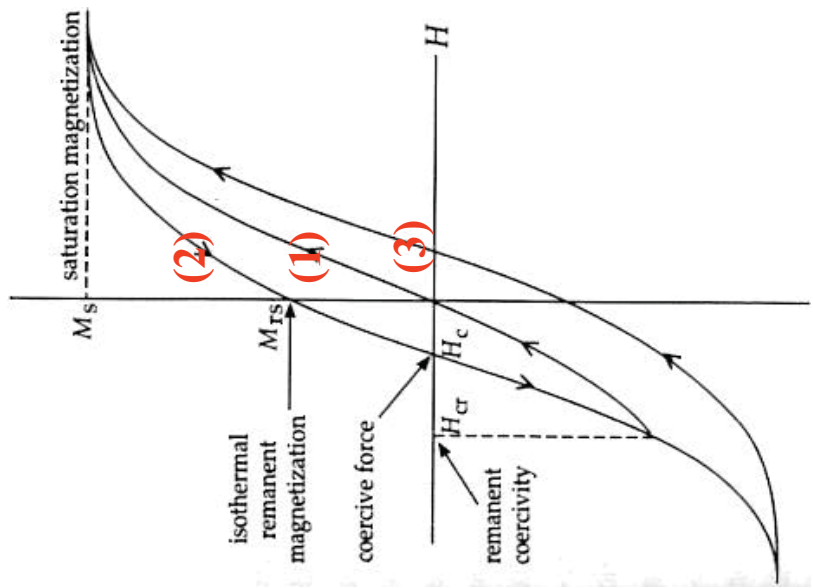
A medida que aumenta la temperatura el ordenamiento mostrado por la magnetización de los dominios magnéticos se mantiene estable hasta alcanzar la Temperatura de Curie, propia para cada mineral ( $580^{\circ}\text{C}$  para la magnetita). Sobre esta temperatura los granos magnéticos muestran una orientación aleatoria con un momento magnético neto = 0



## MAGNETIZACION DE LAS ROCAS:

### CICLO DE HISTERESIS Y REMANENCIA

Al variar la intensidad del campo externo varia la magnetización adquirida por la roca: (1) aumenta hasta un nivel de saturación ( $M_s$ ); al decrecer el campo no necesariamente sigue la misma trayectoria (2), manteniendo una magnetización remanente incluso en ausencia de un campo externo ( $M_r$ ), si el campo  $H$  no decrece bajo el valor  $H_{cr}$  al aumentar el campo retoma la trayectoria original (1), si alcanza el nivel de saturación su recuperación la efectúa según la trayectoria (3)



## MÓDULO I.- Introducción

### MAGNETIZACION DE LAS ROCAS: REMANENCIA

En presencia de un campo externo variable, la magnetización de las rocas puede contener una magnetización remanente ( $M_r$ ) que es función de la historia de magnetización a la cual ha estado sometida la muestra. Esta magnetización remanente puede tener diversos orígenes pero en términos simples puede expresarse como una componente vectorial neta que presenta una angularidad relativa con respecto a la magnetización inducida por el campo actual ( $M_t$ ). La importancia relativa de cada componente se expresa en el RATIO DE KONIGSBERG :  $Q = M_r/M_t$ .

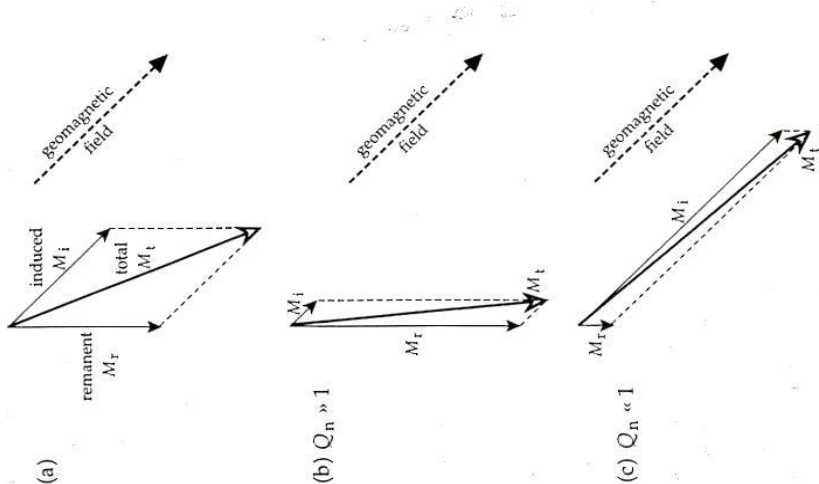
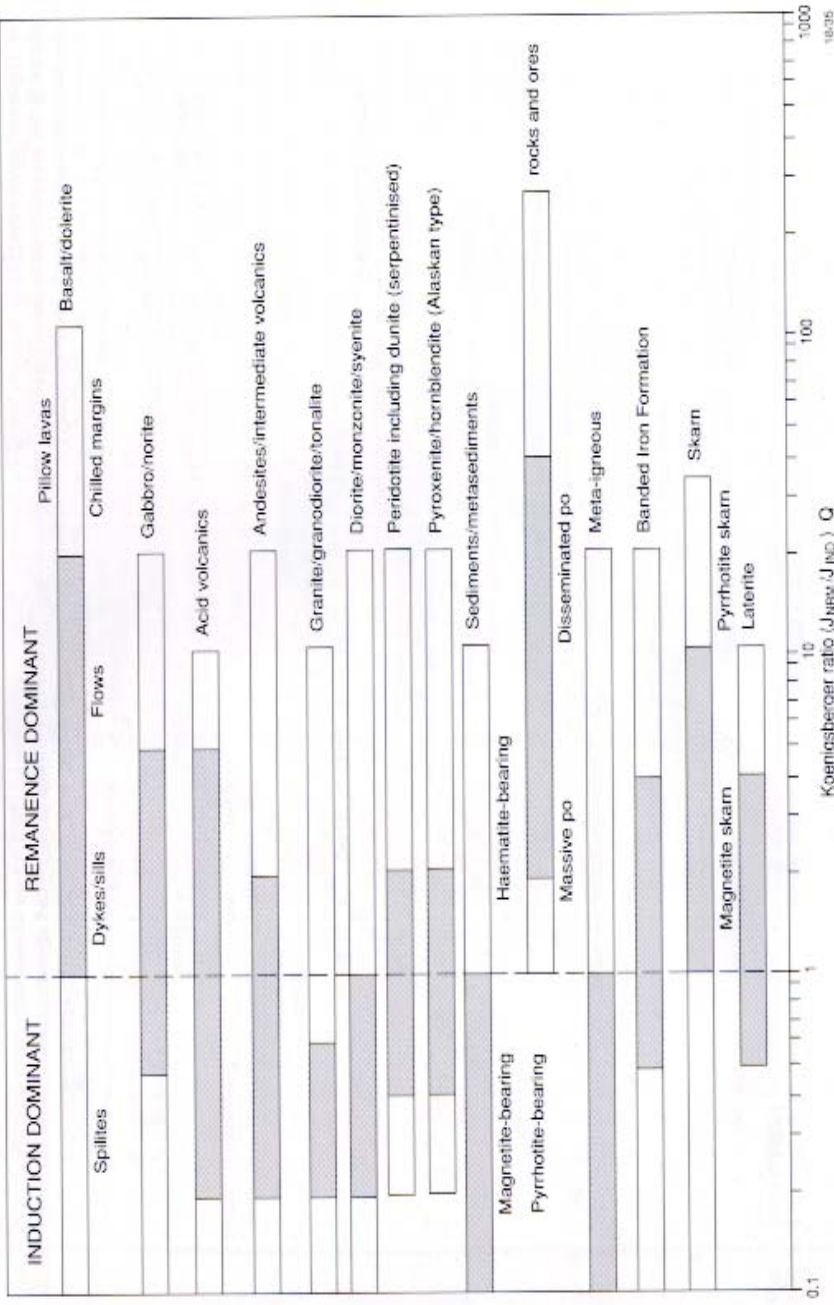


FIG. 5.40 The remanent ( $M_r$ ) induced ( $M_i$ ) and total ( $M_t$ )

## MÓDULO I.- Introducción

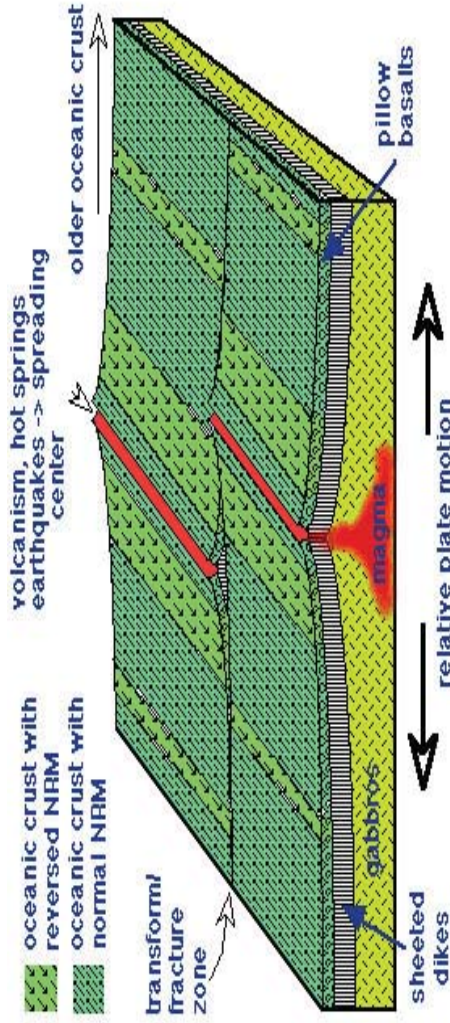
## MAGNETIZACION DE LAS ROCAS: REMANENCIA



## MÓDULO I.- Introducción

## MAGNETIZACION DE LAS ROCAS: TIPOS DE REMANENCIA

**TRM: Magnetización Termoremanente. Magnetización adquirida al momento de enfriarse bajo el punto de Curie correspondiente. Esta magnetización es característica de rocas efusivas tipo basaltos oceánicos que se magnetizan en la dirección del campo ambiente al momento de cristalizar en dorsales oceánicas.**

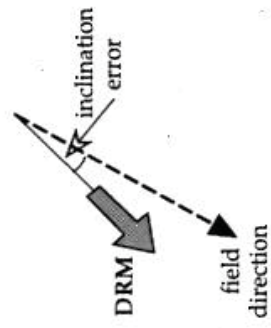
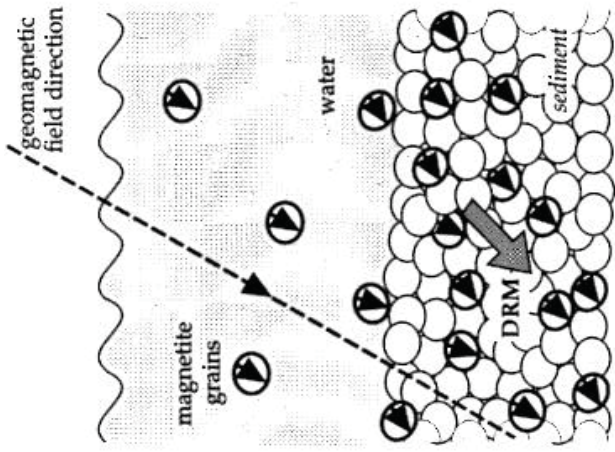


## MÓDULO I.- Introducción

### MAGNETIZACION DE LAS ROCAS: TIPOS DE REMANENCIA

**DRM:** Magnetización Detritica.

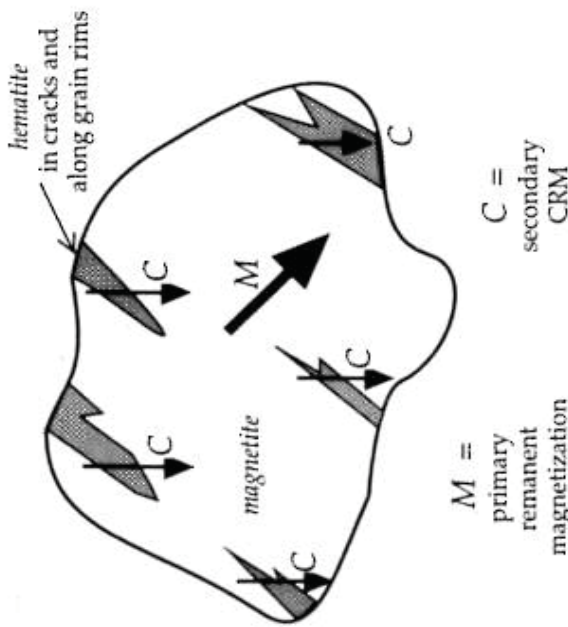
Magnetización adquirida durante los procesos de sedimentación lenta, por ejemplo en arcillas. Los granos de magnetita se orientan según la dirección del campo ambiente al momento de la deposición.



### MÓDULO I.- Introducción

### MAGNETIZACION DE LAS ROCAS: TIPOS DE REMANENCIA

**CRM:** Magnetización Químico-remanente. Magnetización adquirida mediante un proceso químico en la diagénesis de rocas sedimentarias y también en ambientes ígneos sometidos a circulación hidrotermal (ej. dorsales oceánicas). También en ambientes metamórficos (ej. Depósitos tipo skarn)



Otros tipos, VRM: magnetización viscoremanente en sometimiento a campos externos por un periodo prolongado de tiempo.

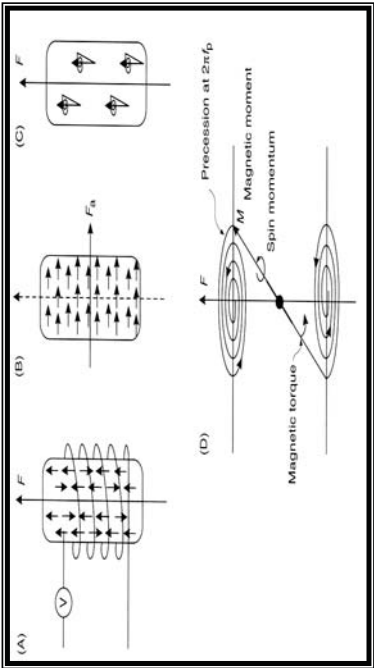
**IRM:** magnetización remanente al eliminar el campo externo

## MÓDULO I.- Introducción

# MAGNETISMO: Instrumental

MAGNETOMETRO GEOMETRICS G-858  
PRECESSION (VAPORES DE CESIO)

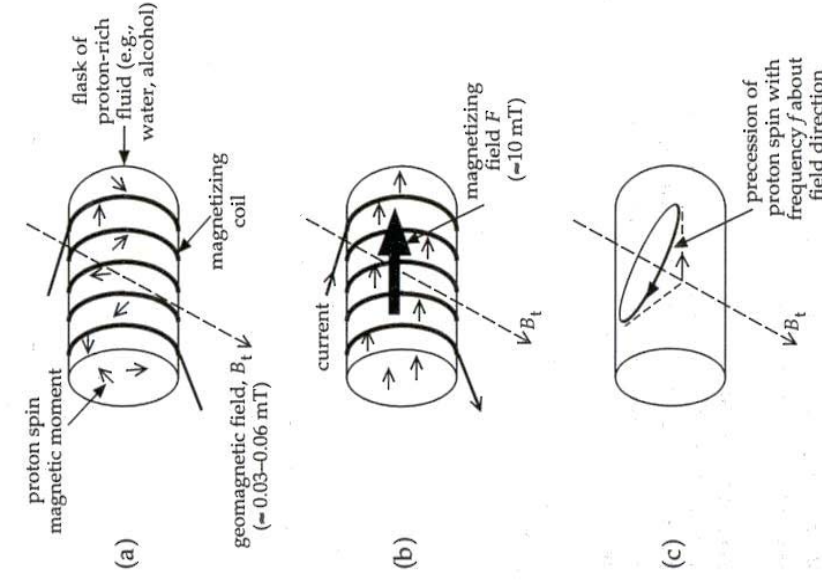
## PRINCIPIO FISICO MAGNETOMETROS DE PRECESSION



## MÓDULO I.- Introducción

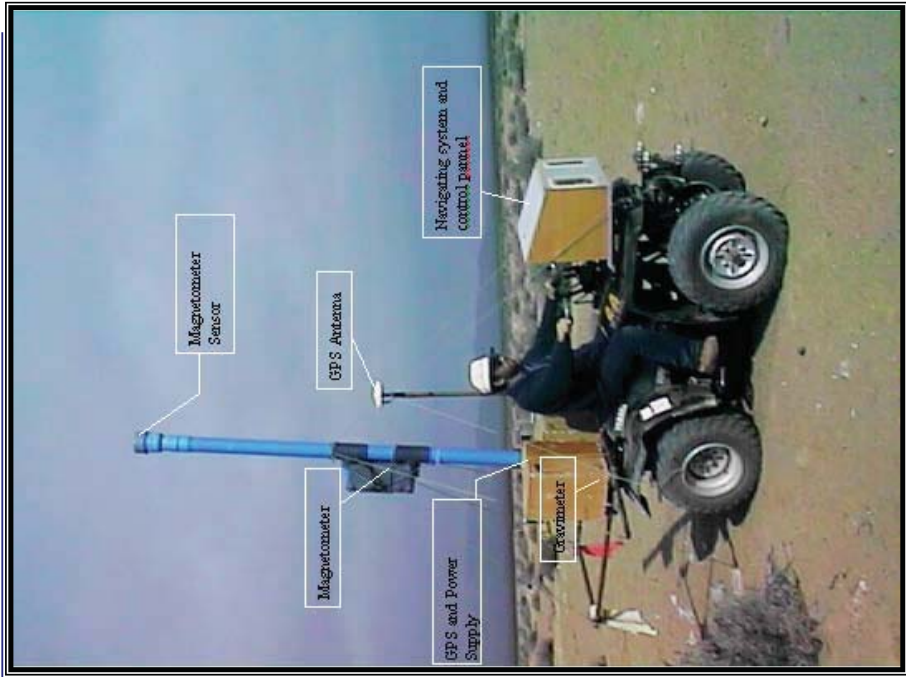
### Principio del magnetómetro de precesión magnética:

- a) En una bobina con agua destilada se dispone un volumen de protones con una bobina envolvente.
- b) Se energiza la bobina generando un campo magnético intenso en una dirección distinta del campo terrestre
- c) Al cortar el flujo de corriente por la bobina los protones adquieren un movimiento de precesión en torno a la dirección del campo terrestre con una frecuencia que es proporcional a la intensidad del campo (50 a 100 veces la amplitud de las anomalías observadas)



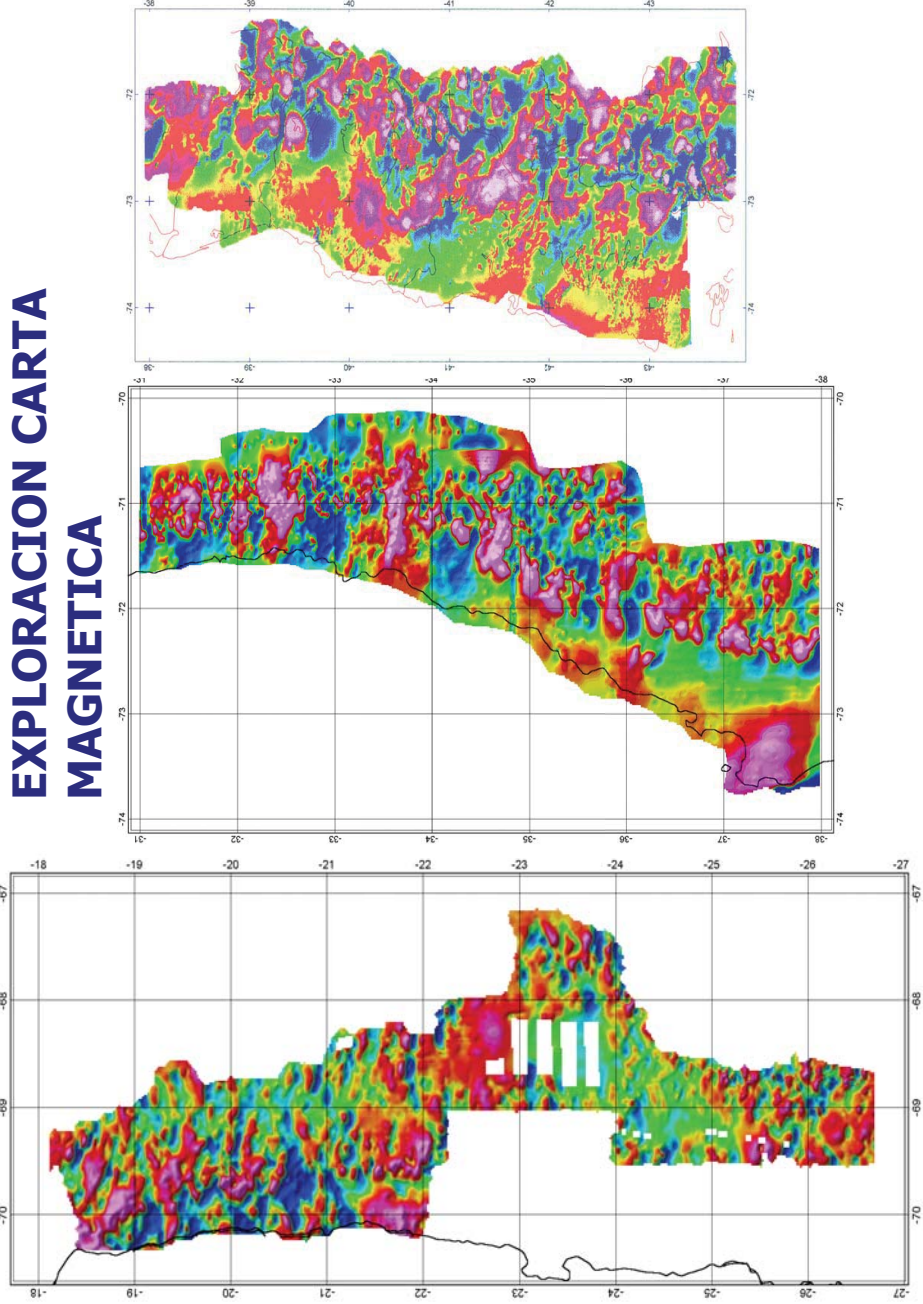
## MÓDULO I.- Introducción

# MAGNETISMO: Instrumental



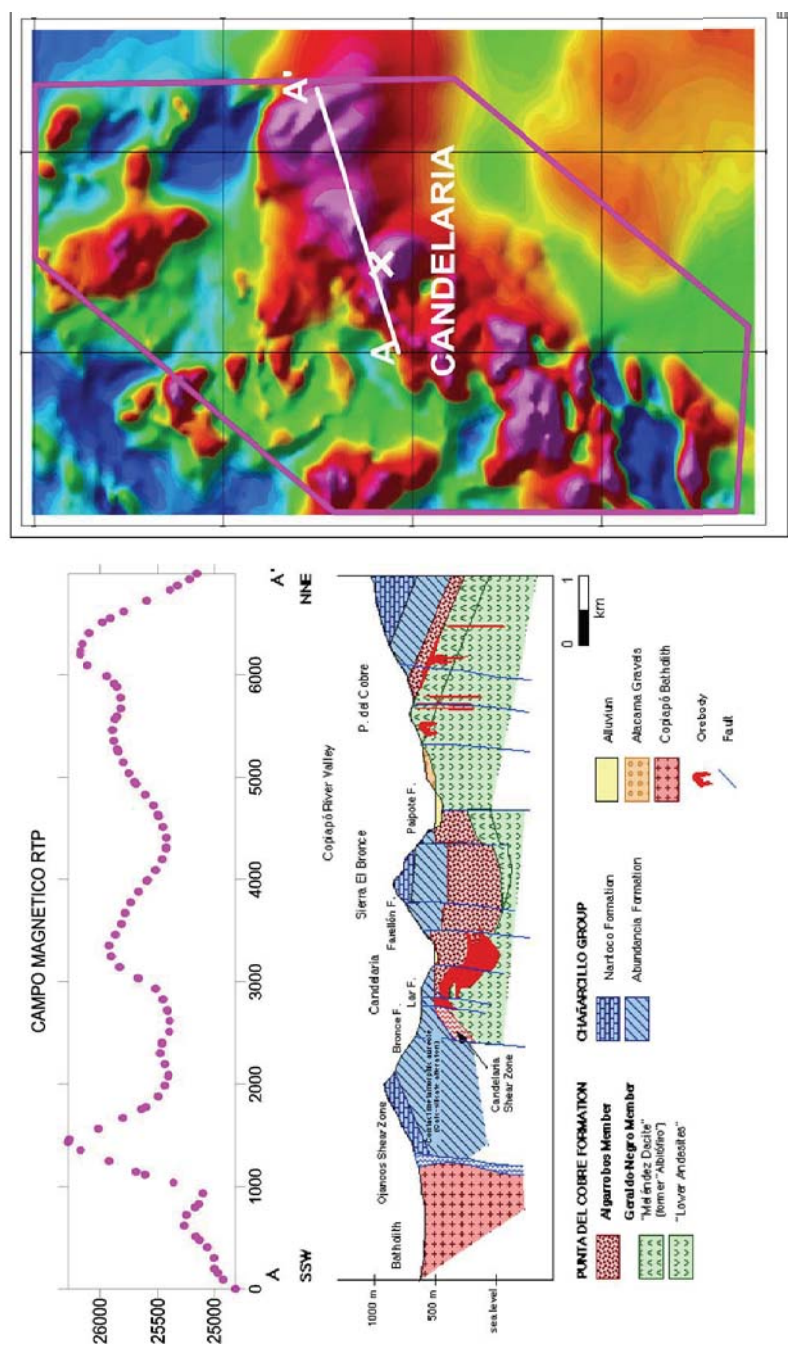
## MÓDULO III.- GEOFÍSICA DE POTENCIAL DESCRIPTIVA

### EXPLORACIÓN CARTA MAGNETICA



## MÓDULO II.- GEOFÍSICA DE POTENCIAL DESCRIPTIVA

### SECCION GEOLOGICA V/S RTP



### MÓDULO IV.- Modelación directa

## MODELACION DIRECTA

## MÓDULO IV.- Modelación directa

**Si la magnetización es uniforme no depende del volumen de integración y puede ser ubicada fuera de la integral en conjunto con el operador gradiente:**

$$A(r_o) = -M(r_o) \cdot \nabla \int_V \left( \frac{1}{|r - r_o|} \right) dV$$

**La expresión anterior permite establecer una importante relación entre el potencial magnético y gravitario para el caso de distribuciones homogéneas de densidad y magnetización:**

$$A(r_o) = -\frac{M(r_o)}{G\rho(r_o)} \cdot \nabla U \quad (\text{Relación de Poisson}).$$

$$\text{Fuerza gravitacional } F = \frac{Gm}{r^2} = -\nabla U \Rightarrow U(r) = \frac{Gm}{r}$$

o bien para una distribución en un volumen dado :

$$U(r_o) = G \int_V \frac{\rho dV}{|r - r_o|} = G\rho \int_V \frac{dV}{|r - r_o|} \quad (\text{densidad constante})$$

## MÓDULO IV.- Modelación directa

**Relación de Poisson:**

$$A(r_o) = -\frac{M(r_o)}{G\rho(r_o)} \cdot \nabla U$$

**Si pensamos en una carga magnética distribuida en un volumen de integración:**

$$\begin{aligned} A(r) &- \int_V M(r) \cdot \nabla \left[ \frac{1}{|r - r_o|} \right] dV \\ &\Rightarrow H = -\nabla A = \nabla \int_S M(r) \cdot \nabla \left[ \frac{1}{|r - r_o|} \right] dV \end{aligned}$$

#### MÓDULO IV.- Modelación directa

**Si la dirección de magnetización es la misma en todo el volumen de integración entonces:**

$$M \cdot \nabla = M \frac{\partial}{\partial \alpha} \Rightarrow H = \nabla \frac{\partial}{\partial \alpha} \int_s M(r) \frac{dv}{|r - r_o|}$$

**Al igual que en gravimetría, es posible derivar una expresión similar del potencial magnético para cuerpos infinitamente extendidos en la dirección del rumbo. Utilizando la relación de Poisson se obtiene:**

$$A(r) = -2M(r') \cdot \nabla \int_s^r \log\left(\frac{1}{|r - r'|}\right) ds'$$

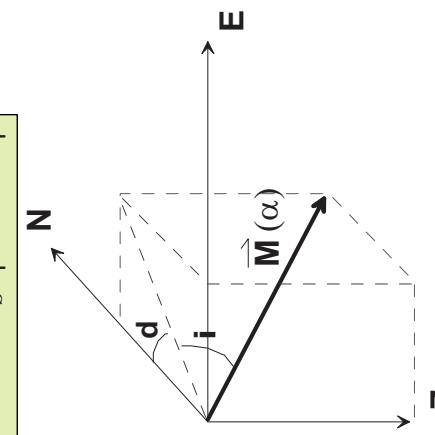
#### MÓDULO IV.- Modelación directa

**Si la magnetización es constante, entonces podemos expresar el efecto magnético de un cuerpo de forma arbitraria como:**

$$H(r_o) = M(r_o) \nabla \frac{\partial}{\partial \alpha} \int_s M(r) \frac{dv}{|r - r_o|}$$

**Donde  $\alpha$  es la dirección de magnetización del cuerpo magnetizado:**

**La derivada direccional en dirección  $\alpha$  se expresa en un sistema cartesiano como:**



$$\frac{\partial}{\partial \alpha} = \cos(i) \cdot \cos(d) \cdot \frac{\partial}{\partial x} + \cos(i) \cdot \sin(d) \cdot \frac{\partial}{\partial y} + \sin(i) \cdot \frac{\partial}{\partial z}$$

#### MÓDULO IV.- Modelación directa

**En la práctica sin embargo el magnetómetro registra el campo magnético del cuerpo anómalo superpuesto al campo magnético terrestre, y por razones del principio físico utilizado para efectuar la medición del campo (ver recuadro), solo se registra la componente paralela al campo ambiente en el lugar de medición.**

$$\begin{aligned}
 H &= H_o + \Delta H, \quad pero \Delta H \ll H_o \\
 \Rightarrow \Delta T &\approx \Delta H \cdot \hat{\kappa} = -\nabla A \cdot \hat{\kappa} = -\frac{\partial A}{\partial \kappa} \\
 \frac{\partial}{\partial \kappa} &= \cos(I) \cdot \cos(D) \cdot \frac{\partial}{\partial x} + \cos(I) \cdot \sin(D) \cdot \frac{\partial}{\partial y} + \sin(I) \cdot \frac{\partial}{\partial z} \\
 \hat{\kappa} &: \text{dirección del campo magnético terrestre,} \\
 I, D &: \text{inclinación y declinación del campo magnético}
 \end{aligned}$$

#### MÓDULO IV.- Modelación directa

**En caso de cuerpos magnetizados por inducción**

$(\alpha = \kappa' = > M = \kappa' F_o)$ :

$$\Delta T(r_o) = \kappa' F_o \frac{\partial^2}{\partial \alpha^2} \int_v \frac{1}{|r - r_o|} d\nu$$

**Para el caso de vectores no coincidentes (remanencia pura):**

$$\Delta T(r_o) = M \frac{\partial^2}{\partial \alpha \partial \kappa} \int_v \frac{1}{|r - r_o|} d\nu$$

**En el caso mas general:**

$$M = M_o + \kappa' F_o$$

## MÓDULO IV.- Modelación directa

### EJEMPLO: MODELACION MAGNETICA DE DIQUE VERTICAL

**En el capítulo de gravedad se demostró que la integral de volumen:**

$$\int_V \frac{1}{|r - r_o|} dV$$

**Puede expresarse como una integral de superficie bajo el supuesto que el cuerpo presenta simetría cilíndrica (se extiende infinitamente en dirección del rumbo):**

$$\int_V \frac{1}{|r - r_o|} dV = 2 \int_s \log\left(\frac{1}{|r - r_o|}\right) ds$$

#### MÓDULO IV.- Modelación directa

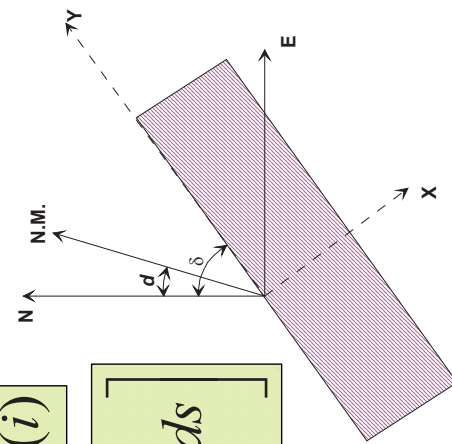
**En consecuencia el potencial magnético en dos dimensiones se expresa como:**

$$A(r_o) = -2M \cdot \nabla \int_s \log\left(\frac{1}{|r - r_o|}\right) ds$$

$$A(r_o) = -2M \left[ \alpha_x \frac{\partial}{\partial x} \int_s \log\left(\frac{1}{|r - r_o|}\right) ds + \alpha_z \frac{\partial}{\partial z} \int_s \log\left(\frac{1}{|r - r_o|}\right) ds \right]$$

$$\alpha_x : \cos(i) \cdot \cos(d - \delta); \quad \alpha_z : \sin(i)$$

$$A(r_o) = -2M \left[ \alpha_x \int_s \frac{x}{|r - r_o|^2} ds + \alpha_z \int_s \frac{z}{|r - r_o|^2} ds \right]$$

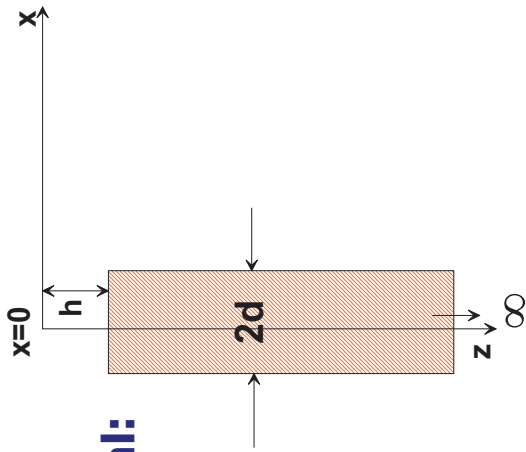


## MÓDULO IV.- Modelación directa

**Evaluando estas integrales para un punto x distinto del origen:**

$$U_{xx} = \int_S \frac{z^2 - (x - x_o)^2}{[(x - x_o)^2 + z^2]^2} ds; \quad U_{xz} = \int_S \frac{-2 \cdot (x - x_o) \cdot z}{[(x - x_o)^2 + z^2]^2} ds$$

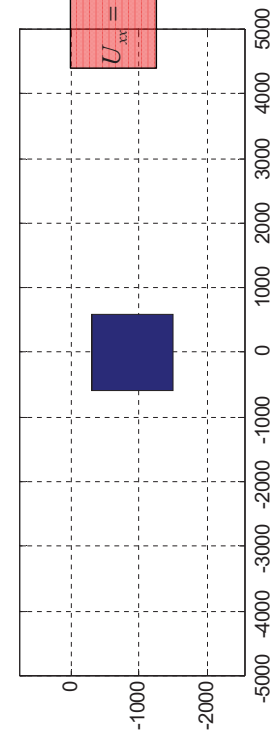
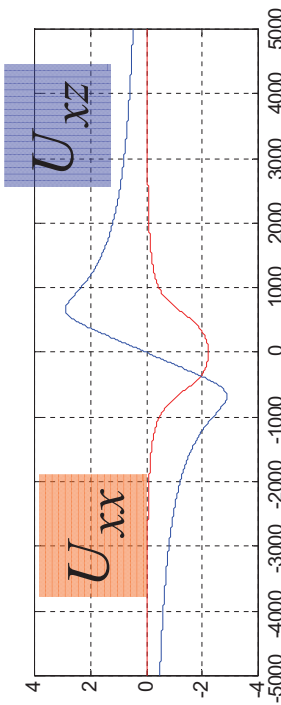
$$x=0$$



**Para una geometría correspondiente a un dique vertical:**

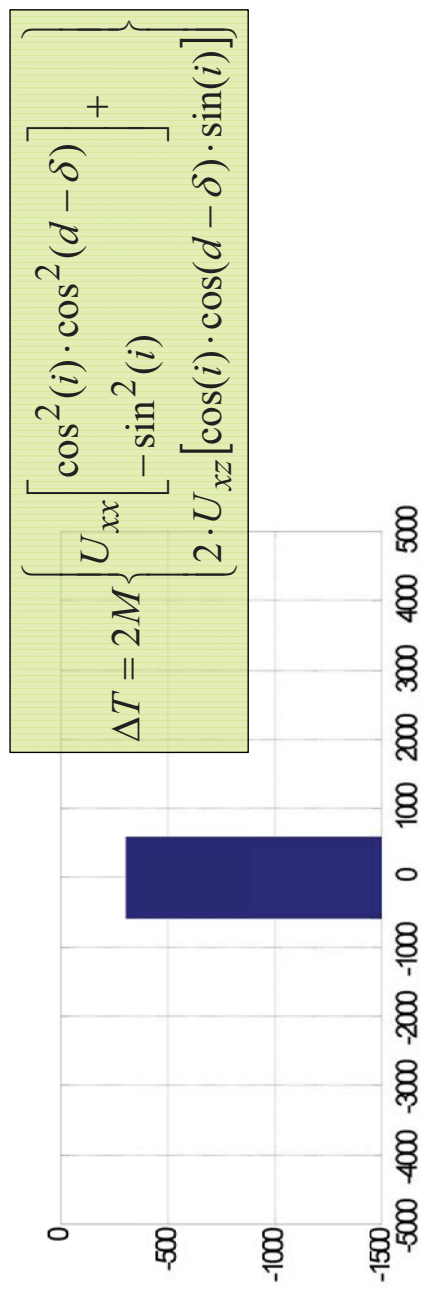
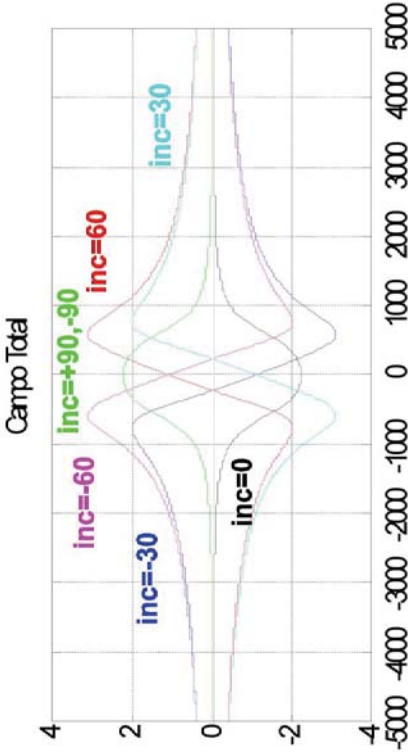
## MÓDULO IV.- Modelación directa

$$U_{xz}(x_o) = \frac{1}{2} \log \frac{(d + x_o)^2 + h^2}{(-d + x_o)^2 + h^2}$$



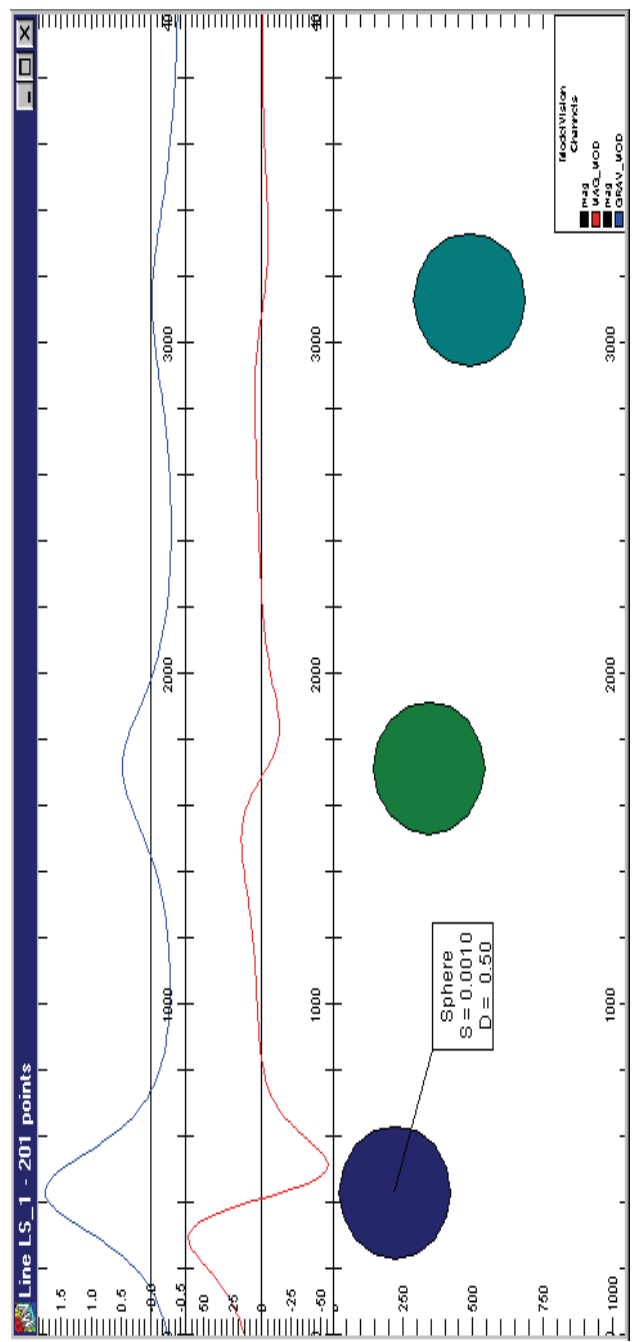
$$U_{xx} = \arctan \left[ \frac{h}{x_o + d} \right] - \arctan \left[ \frac{h}{x_o - d} \right]$$

## MÓDULO IV.- Modelación directa



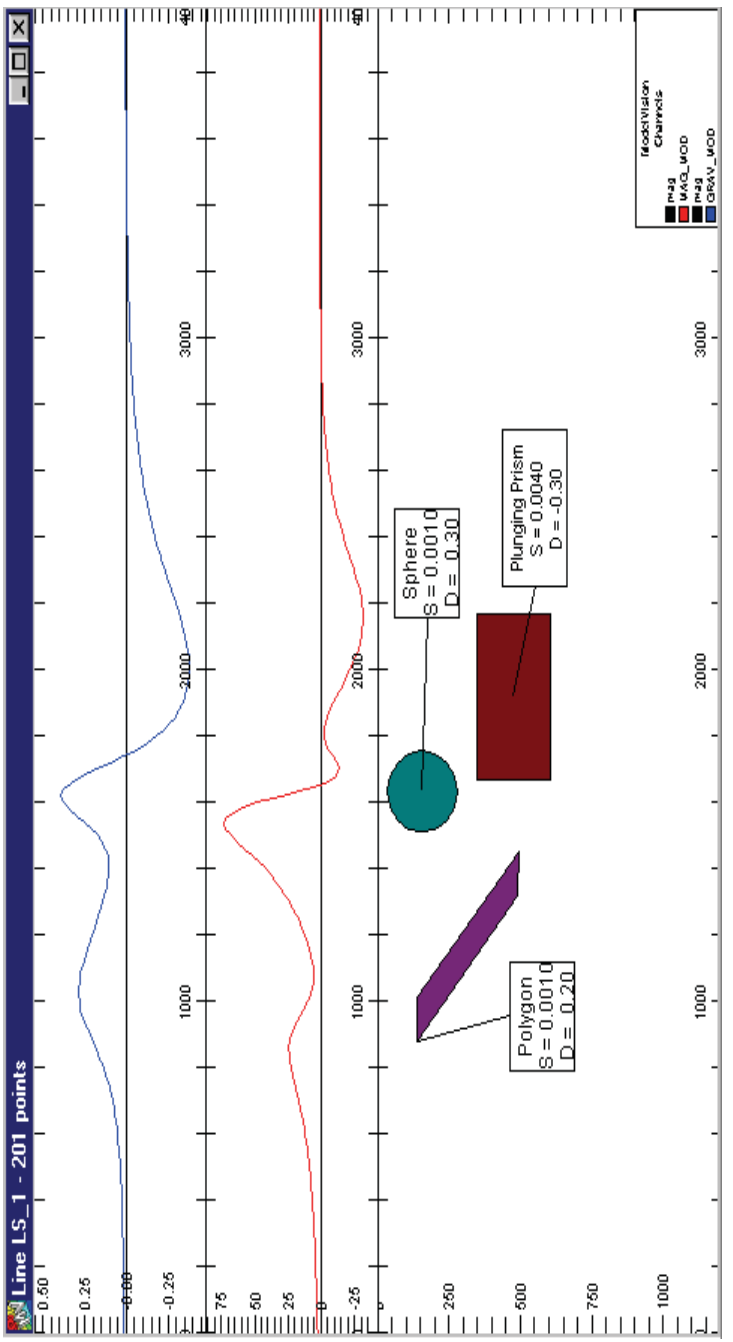
## MÓDULO IV.- Modelación directa

- ANOMALIA MAGNÉTICA DIPOLAR
- ANOMALIA GRAVIMÉTRICA MONOPOLAR CENTRADA EN EL CUERPO
- DISMINUCIÓN DE AMPLITUD CON EL CUADRADO DE LA DISTANCIA EN GRAVEDAD Y EL CUBO DE LA DISTANCIA EN MAGNETISMO
- AUMENTO DE LONGITUD DE ONDA A MAYOR PROFUNDIDAD



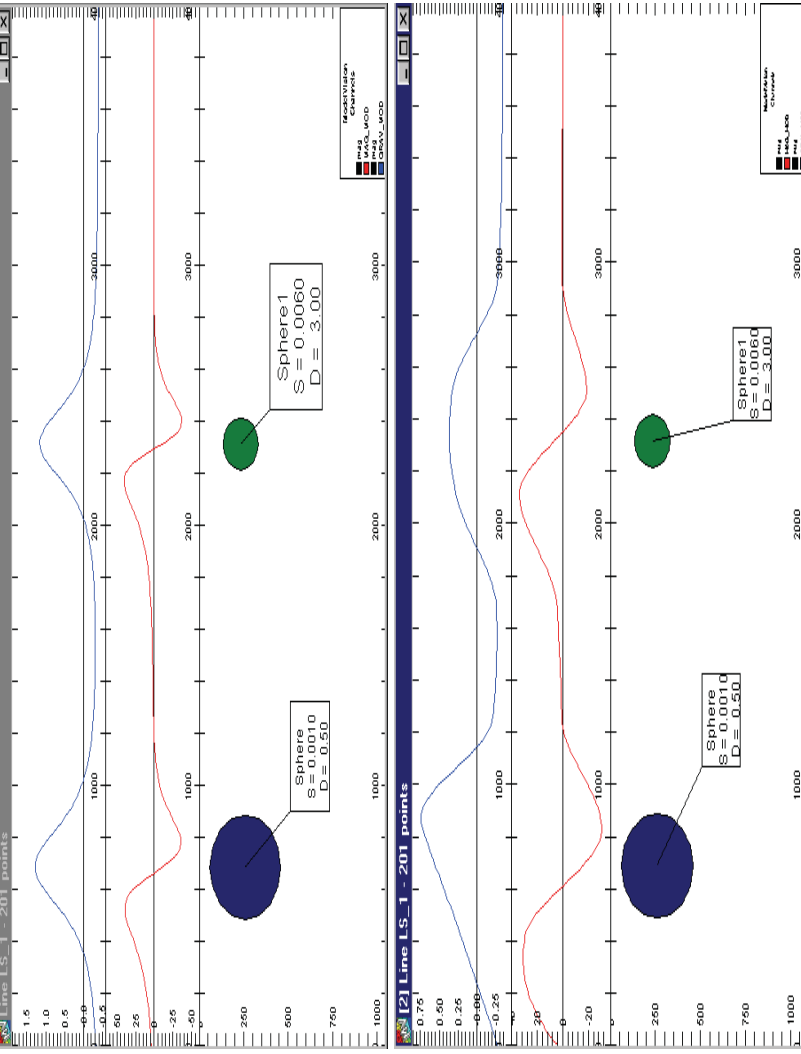
#### MÓDULO IV.- Modelación directa

### ANOMALIA RESULTANTE DE LA SUPERPOSICION DE CUERPOS ANOMALOS ES IGUAL A LA SUMA DE LOS EFECTOS INDIVIDUALES



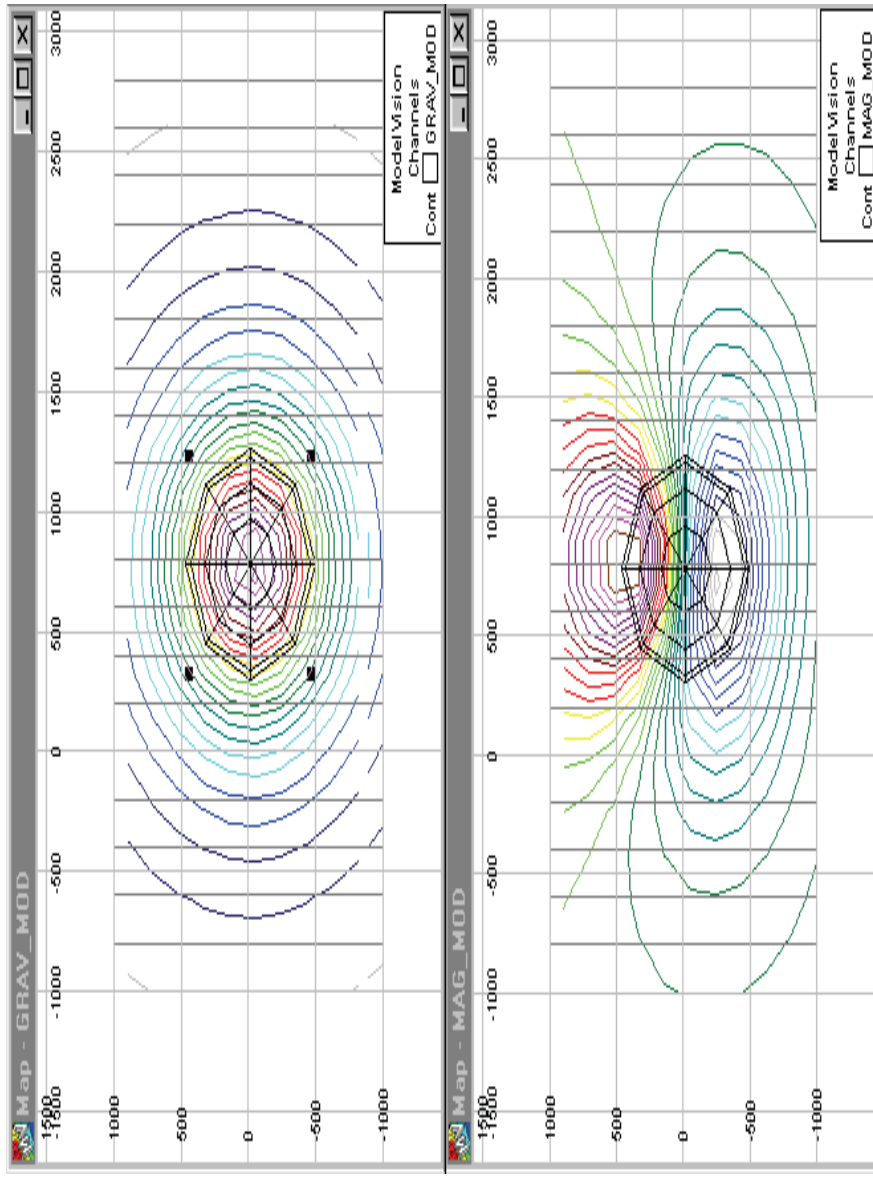
#### MÓDULO IV.- Modelación directa

### TEORÍA DE MUESTREO "ALIASING": AL MUESTRAR LA ANOMALIA CON UN INTERVALO INFERIOR AL TAMAÑO DEL CUERPO LA ANOMALIA NO ES RESUELTA EN FORMA COMPLETA



## MÓDULO IV.- Modelación directa

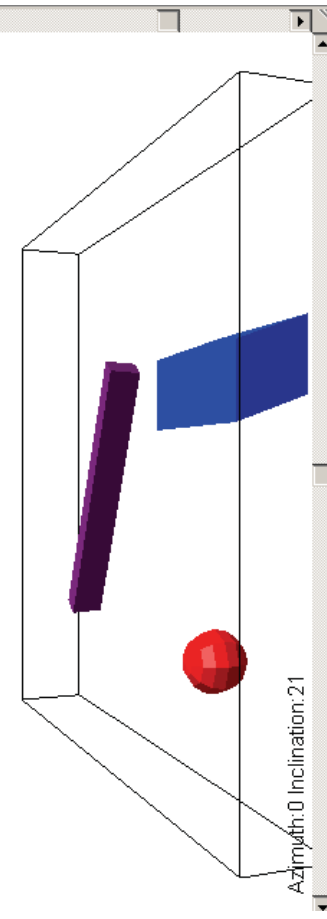
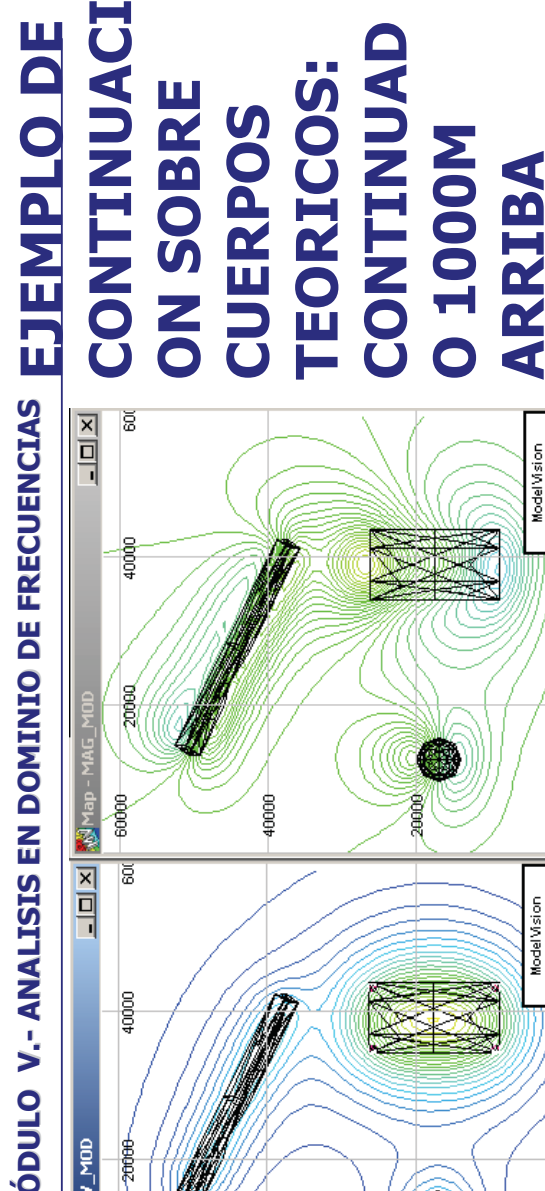
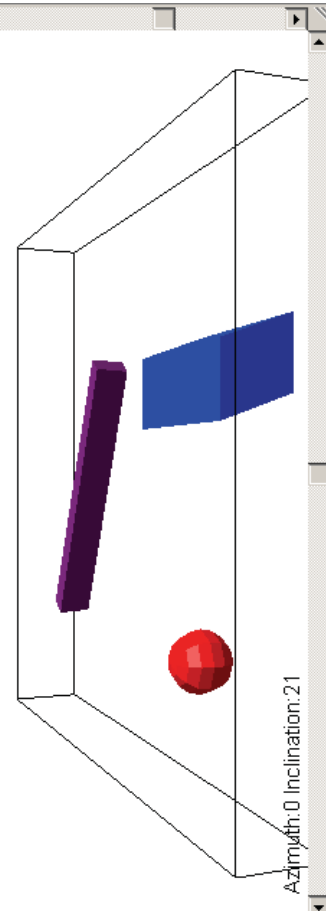
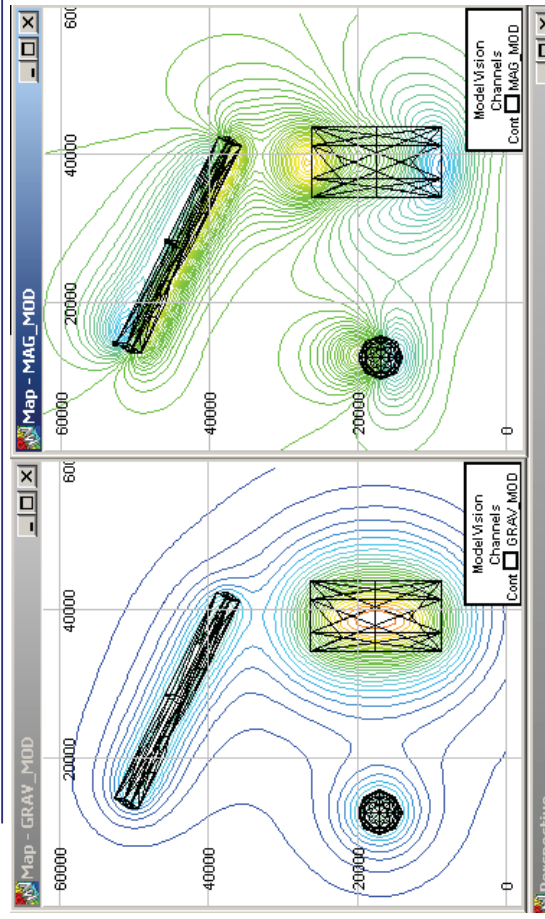
### •CUERPOS TRIDIMENSIONALES:



### MÓDULO V.- ANÁLISIS EN DOMINIO DE FRECUENCIAS

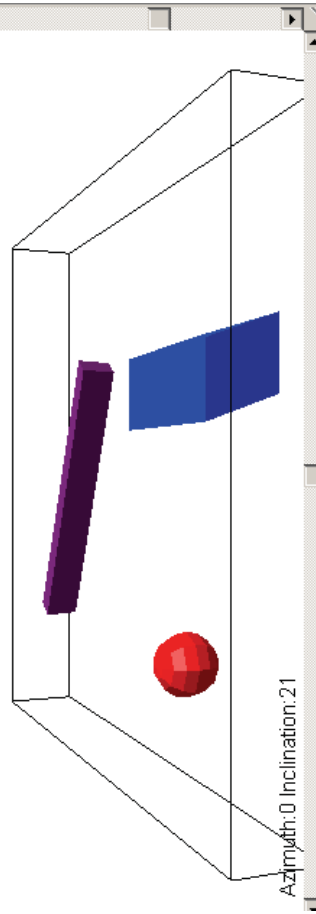
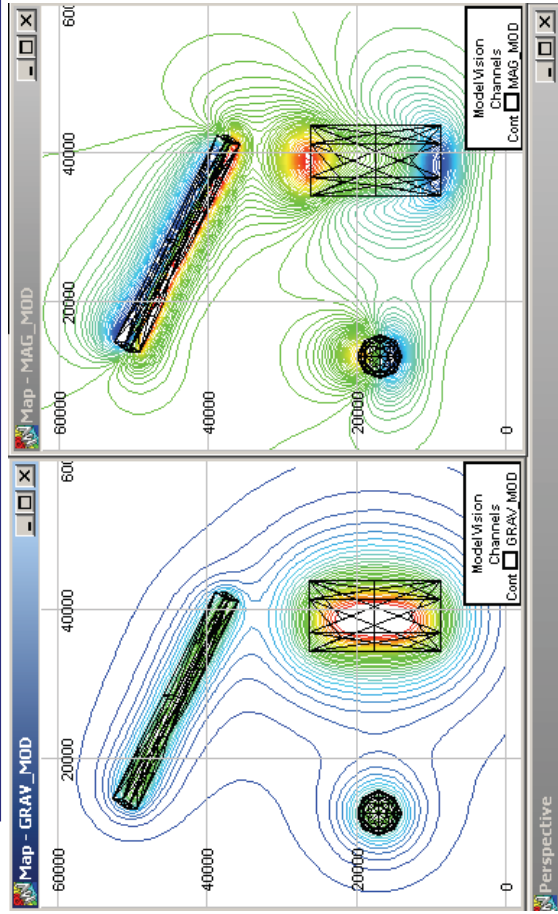
# PROCESO DE DATOS

## MÓDULO V.- ANÁLISIS EN DOMINIO DE FRECUENCIAS



## MÓDULO V.- ANÁLISIS EN DOMINIO DE FRECUENCIAS EJEMPLO DE

# CONTINUACIÓN SOBRE CUERPOS TEÓRICOS: CONTINUAD O 1000M ABAJO



## MÓDULO V.- ANÁLISIS EN DOMINIO DE FRECUENCIAS

### Reducción al Polo

La relación de Poisson establece:

$$\mathbf{A}(\mathbf{r}) = \frac{\mathbf{M}}{G_p} \mathbf{g}_\alpha = \frac{\mathbf{M}}{G_p} \frac{\partial}{\partial \alpha} \mathbf{U}(\mathbf{r})$$

Donde  $\mathbf{A} \equiv$  Pot. Magnético;  $\mathbf{U} \equiv$  Pot. Gravitatorio;  $\alpha \equiv$  Dir. Mag. Fuente

Si tomamos la derivada en la dirección del c.m.t. ( $\hat{\mathbf{t}}$ ), obtenemos:

$$(1) \quad \mathbf{T}(\mathbf{r}) = \frac{\mathbf{M}}{G_p} \frac{\partial^2}{\partial \mathbf{t} \partial \alpha} \mathbf{U}(\mathbf{r}) \quad \text{con } \mathbf{T} \equiv \text{Campo mag. cuerpo anómalo}$$

Análogamente, la anomalía teórica que producirá el mismo cuerpo en el polo magnético será:

$$(2) \quad \mathbf{T}_{\text{polo}}(\mathbf{r}) = \frac{\mathbf{M}}{G_p} \frac{\partial^2}{\partial \mathbf{z}^2} \mathbf{U}(\mathbf{r})$$

$$\hat{\mathbf{t}} = \hat{\mathbf{a}}_i + \hat{\mathbf{b}}_j + \hat{\mathbf{c}}_k$$

$$\alpha = \hat{\alpha} \hat{\mathbf{i}} + \hat{\beta} \hat{\mathbf{j}} + \hat{\gamma} \hat{\mathbf{k}}$$

## MÓDULO V.- ANÁLISIS EN DOMINIO DE FRECUENCIAS

### Reducción al Polo

Tomando FT a las ecuaciones (1) y (2) e igualando FT[U(r)], obtenemos:

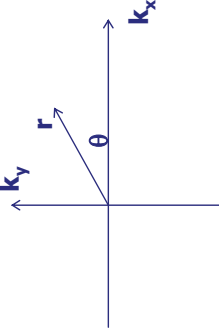
$$FT[T_{\text{polo}}(r)] = FP(k_x, k_y) FT[T(r)]$$

Con

$$FP(k_x, k_y) = \frac{[ia k_x + ib k_y + c(k_x^2 + k_y^2)^{1/2}][ia k_x + ib k_y + \gamma(k_x^2 + k_y^2)^{1/2}]}{K_x^2 + K_y^2}$$

- Procedimiento en tres pasos: Transformada / Filtro / Antitransformada

- Aplicaciones
- Que pasa en bajas latitudes geomagnéticas ( $I < 20^\circ$ ) ?



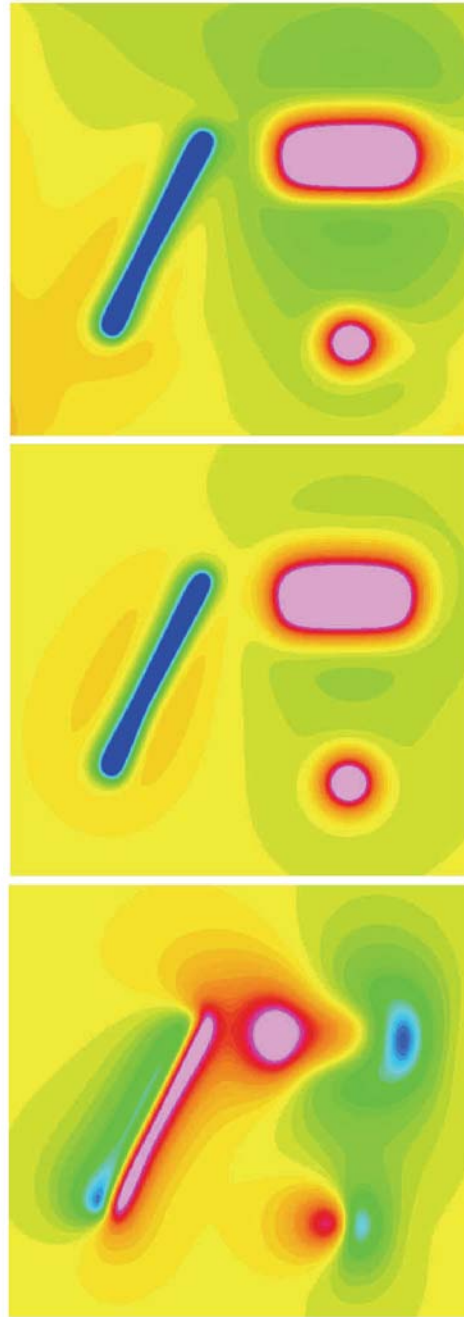
En polares  $k_x = r \cos(\theta)$ ;  $k_y = r \sin(\theta)$

## MÓDULO V.- ANÁLISIS EN DOMINIO DE FRECUENCIAS

### REDUCCION AL POLO

OBSERVACION  
 $I=90$

REDUCCION AL  
POLO

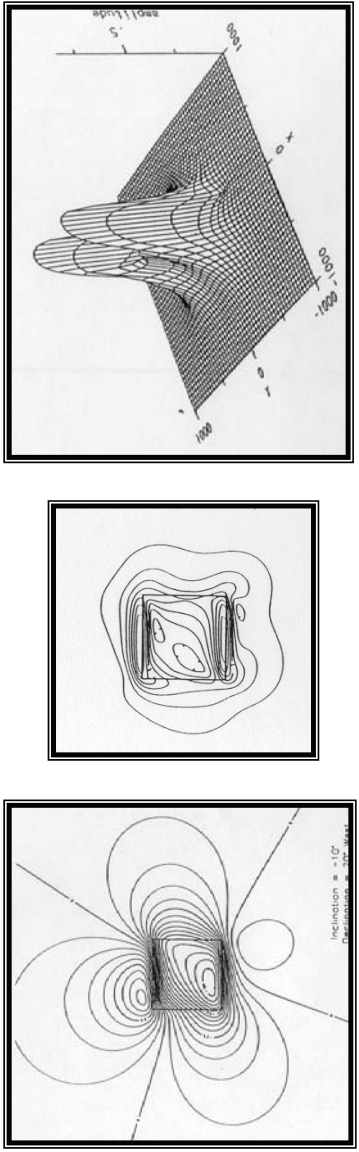


## MÓDULO V.- ANÁLISIS EN DOMINIO DE FRECUENCIAS

### Señal Analítica

Corresponde a la envolvente de energía de las anomalías magnéticas y no depende de la dirección de magnetización de las fuentes.

La amplitud de la "Señal Analítica" tendrá directa relación con la intensidad de la magnetización, y presentará valores máximos sobre los bordes de las fuentes magnéticas.



## MÓDULO V.- ANÁLISIS EN DOMINIO DE FRECUENCIAS

### Señal Analítica

Se define como:

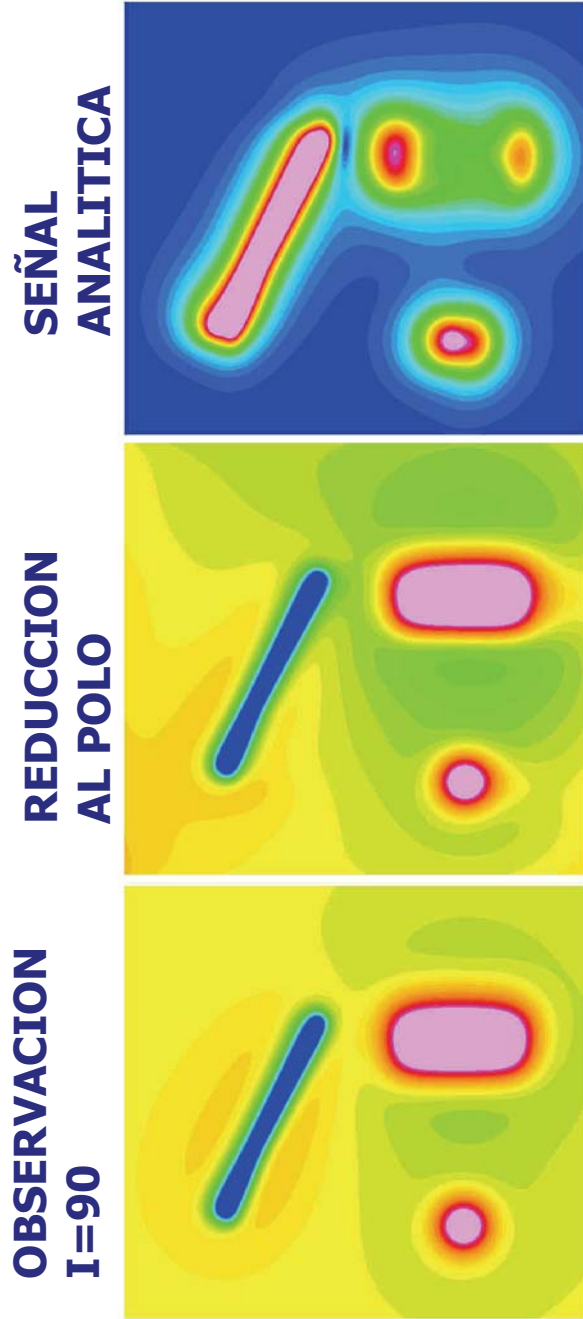
$$AS(x,y,z) = (\mathbf{T}_x^2 + \mathbf{T}_y^2 + \mathbf{T}_z^2)^{1/2}$$

Donde  $\mathbf{T}_x$ ,  $\mathbf{T}_y$ ,  $\mathbf{T}_z$  corresponden a los gradientes (derivadas) en las direcciones  $x$ ,  $y$ ,  $z$  respectivamente, que pueden ser fácilmente calculados en el dominio de Fourier.

El ruido presente en los datos observados, es amplificado al calcular la "Señal Analítica" (recordar que las derivadas equivalen a filtros pasa-alto), por lo que es recomendable filtrar las altas frecuencias antes de calcular AS.

"*An Analytic Signal Approach to the Interpretation of Total Field Magnetic Anomalies*". Shuang Qin., *Geophysical Prospecting Vol.42 pp. 665-675*

## REDUCCION AL POLO VS SEÑAL ANALITICA



## MÓDULO V.- ANÁLISIS EN DOMINIO DE FRECUENCIAS

**Planos de derivadas:** Utilizados para discriminar tendencias y contactos en los datos. En el dominio de las frecuencias una derivada de orden n se expresa como:

$$TF \left[ \frac{d^n}{dx^n} f(x) \right] = (ik_x)^n TF[f(x)]$$

Si estas derivadas incluyen la dirección z hay que tener presente la relación:

$$\nabla^2 T = 0 = \frac{d^2 T}{dx^2} + \frac{d^2 T}{dy^2} + \frac{d^2 T}{dz^2}$$

De tal manera que las derivadas c/r corresponden a:

$$\frac{d^n T}{dz^n} = TF^{-1} \left[ \sqrt{k_x^2 + k_y^2} \cdot TF[T] \right]^n$$

## PLANOS DE DERIVADAS EN MAGNETISMO

**POLO 1a DER.X      POLO 1a DER.Y      POLO 2a DER.Z**

